

(HUANJING KEXUE)

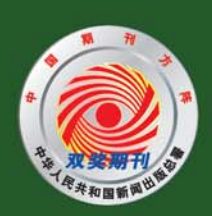
ENVIRONMENTAL SCIENCE

第33卷 第8期

Vol.33 No.8

2012

中国科学院生态环境研究中心 主办



終 佐 静 享 (HUANJING KEXUE)

ENVIRONMENTAL SCIENCE

第33卷 第8期2012年8月15日

目 次

南海北部大气气相多溴联苯醚的含量及来源 李琦路,李军,刘向,徐维海,张干(2533)河北张家口市大气污染观测研究
河北地名口古土台泛流加洲河南南
刊北京《日中八·【行朱观则刊元 中于,王利利,文俊孙,周彦昭,王玖心(2536)
大气中内烷光氧化臭氧生成冶性的烟雾箱模拟 黄丽华,吴创荣,徐永福,贾龙(2551)
膜生物反应器处理甲苯性能及机制叶杞宏、魏在山、肖盼、李华琴、张再利、樊青娟(2558)
厨余垃圾堆肥过程中恶臭物质分析
北京城市生态系统地表水硝酸盐污染空间变化及其来源研究 徐志伟,张心昱,任玉芬,孙晓敏,王效科,王升忠(2569)
北京城市生态系统地农小明政益行朱至问文化及英未添明五 "标志市,本心立,世玉分,並就载,王效杆,工开志(2509)
枯、平、丰水期长江3条支流表层水中多氯联苯的分布特征及风险评价
三峡库区丰水期表层水中酚类的分布特征及潜在风险 吴正勇,赵高峰,周怀东,曾敏,廖柏寒,吴正勇,张盼伟,柳敏(2574) 三峡库区丰水期表层水中酚类的分布特征及潜在风险 吴正勇,赵高峰,周怀东,李科林,李昆,张盼伟(2580) 东湖表层水体中全氟辛酸和全氟辛磺酸空间分布特征
左州主目水桥中人看立麟和人看立麟都公司公太桂红
小例农区小件工工规十段和工规十项的工厂内力和TUL.
三峡库区大宁河与磨刀溪重金属污染特征 安立会,张艳强,郑丙辉,刘玥,宋双双,李子成,陈浩,赵兴茹,林进(2592)
长江水系表层沉积物重金属污染特征及生态风险性评价
江蓝加东滩涂П米美殖区丰层沉积物山黄今届亚源分析及甘港在广物青性 李吾 工三龙 蒸む 青朗 次新瑶(2607)
在分别小师研究大介担色农区UM的等于里亚两不断刀切及兴宙在工物专口。
机到强度对众例机快初中解释放及其形态转化的影响 ····································
十流倒灈异重流对杳溪河库湾宫养盐的补给作用 张宇,刘德富,纪道斌,杨正健,陈媛媛(2621)
常年淹水和干旱对三峡库区消落带菖蒲生长恢复的影响 李强,高祥,丁武泉,朱启红,欧媛,刘瑜(2628)
温州城市降雨经流磷的角荷及其初始冲刷效应 周桂 陈振楼 毕素鸠(2634)
加州为山区中间上流域的西方法的逐步绘山柱红。
7. 一个一个一个一个一个一个一个一个一个一个一个一个一个一个一个一个一个一个一个
城郊农业区小流域土地利用结构对氮系输出的影响
基于 AnnAGNPS 模型四岭水库小流域氮磷流失特征的模拟研究 边金云,王飞儿,杨佳,俞洁,楼莉萍,俞丹萍(2659)
基于 GIS 和 L-THIA 模型的深圳市观澜河流域非占源污染负荷变化分析 ························ 白凤姣 李天宏(2667)
黄土丘陵区城南水州对降雨和下热面微观校昌的响应 工作 曹逗些 阵利而 呈左亚 阵球(2674)
更上几夜已极田小压对阵的伸手至田顶就竹河的响应 上下, 贝福名, 卧河坝, 大水下, 卧堡(2014)
强化混凝对腐殖酸和晶里酸去除对比研究
九龙江卜游水源水中新发病原微生物和抗生素抗性基因的定量 PCR 检测 ············ 王青,林惠荣,张舒婷,于鑫(2685)
布吉河丰水期总细菌和氨氧化细菌的定性和定量研究 · · · · · · · · · · · · · · · · · · ·
曝气生物滤池工艺脱氡性能及反硝化细菌群落结构特征研究
城市运水外理厂每化物工艺微片物种群分析 郭云 杨殿海 卢文健(2700)
70. 10. 10. 10. 10. 10. 10. 10. 10. 10. 1
IC 及应给处理学问及小的效能及共倾生物种冷幼恋分别。
三峡库区大宁河与磨刀溪重金属污染特征 安立会,张艳强,郑丙辉,刘玥,宋双双,李子成,陈浩,赵兴茹,林进(2592)长江水系表层沉积物重金属污染特征及生态风险性评价
UV/H,O, 法对印染废水生化出水中不同种类有机物的去除效果 ····································
蛋白核小球藻 Chlorella pyrenoidosa-15 的异养培养条件优化及污水养殖
里口板了外来 Chaocha pyreholausa-15 出开介绍介尔门拉巴及门尔尔里工系统 本业职 职写出 本占据 告行若 经点表(2725)
工为市,子允庄,加湿风,子丰荣,表红利,彻金尔(2133)
"Fe"/优势脱氯菌"体系降解 2,4,6-TCP 特性及机制研究 戴友芝,郭丽丽,史雷,刘智勇,高宝钗(2741)
树脂 D201 上粗漆酶的固定化及对孔雀石绿的脱色 ················· 戚绪亮,刘翔,刘波,王林,王小春,方超(2747)
TiO./PS/Fe.O.光催化剂的低温制备及其光催化和磁回收性能 ········· 王雪姣 任学昌 念娟妮 肖举强 王刚 常青(2752)
微波加热下来的催化氧化性能研究 张红彩 上水利 王晓晖 刘海楠 张浩(2759)
M业外外外的目标用作为作用工法研究和研究的 有一贯 这是 逐步 近对 化生素 明神中(2727)
到外做切的问解的联闭作用了值性存死性比的明光
好氧颗粒污泥沉降选择头验研究与定量描述
超声波促进好氧/缺氧污泥消化过程中水解酶活性变化研究
微生物营养剂浓度对生物沥浸法促进城市污泥脱水性能的影响 宋永伟,刘奋武,周立祥(2786)
空哈会条件下萨嘉结中对任温光昭胁迫的响应与微结构变化
大型主示[] 血球印文对体皿/元龄度的神迹与版和诗文化
四角地区条巴小相工有性映序的学 1 幼恋
典型设施采地土壤抗生系污染特征与积系规律研究
土壤铜硒复合污染中金属形态转化及其对生物有效性的影响 胡斌,梁东丽,赵文龙,缪树寅(2817)
十壤微牛物群落对多环芳烃污染十壤牛物修复过程的响应 张晶,林朱贵,刘魏魏,尹睿(2825)
可可手角一种菌对隹化厂土壤多环苦烃污染修复
宁西艾山岭矿民孙山岭县一丰的沿岸市区区区。
) 四宋山郊9 尼沙里顶里几条时价低头湿明九
北京市近郊区土壤岬系积特位
抗氧化酶基因作为多外麝香污染分子标志物研究
臭氧污染对不同品种小麦干物质与生物量碳积累与分配的影响 寇太记,于伟伟,朱建国,朱新开(2862)
尿素分解共沉淀法中反应时间对 ZnAI 类水滑石结构和磷吸附性能的影响 ·········· 陆英 程翔 邢波 孙中思 孙德恕(2868)
铅利铜离子在纳米羟基碳灰石上的音争吸附动力学研究
илияты л цлимд <u>Филин цр. т уми улутулт уми улутул</u> уми н
pII 和 NI - 列入上到不氧化硅吸附非的影响
钿在凹凸悴石上的收附符性与机制研究
环丙沙星在潮土中的吸附特性 崔皓,王淑平(2895)
中高温区水合肼 SNCR 脱硝反应机制和特性研究 洪鎏, 陈德珍, 王渡 黄榛(2901)
7 0 1 1 1 1 1 1 1 1 1 1 1 1 1 1 1 1 1 1
- H.S. 洗逢性催化氧化 艺及催化剂研究现状 ····································
H ₂ S 选择性催化氧化工艺及催化剂研究现状 ····································
微生物营养剂浓度对生物沥浸法促进城市污泥脱水性能的影响 宋永伟,刘奋武,周立祥(2786)实验室条件下蓝藻结皮对低温光照胁迫的响应与微结构变化 饶本强,李华,熊瑛,兰书斌,李敦海,刘永定(2793)西南地区紫色水稻土活性碳库的季节动态 吴艳,江长胜,郝庆菊(2804)典型设施菜业土壤抗生素污染特征与积累规律研究 尹春艳,骆永明,滕应,章海波,陈永山,赵永刚(2810)土壤铜硒复合污染中金属形态转化及其对生物有效性的影响 胡斌,梁东丽,赵文龙,缪树寅(2817)土壤微生物群落对多环芳烃污染土壤生物修复过程的响应 张晶,林先贵,刘魏魏,尹睿(2825)可可毛色二孢菌对焦化厂土壤多环芳烃污染化复 张志远,王翠苹,刘海滨,孙红文(2832)广西茶山锑矿尾砂中微量元素的淋滤实验研究 蔡永兵,李玲,魏晓飞,张国平,李海霞,付志平(2840)北京市近郊区土壤碑累积特征 咸洁,王美娥,注自强,欧阳志云(2849)抗氧化酶基因作为多环麝香污染分子标志物研究 蔡永兵,李玲,魏晓飞,张国平,李海霞,付志平(2840)北京市近郊区土壤砷累积特征 咸洁,王美娥,注自强,欧阳志云(2849)抗氧化酶基因作为多环麝香污染分子标志物研究 蔡永兵,李玲,魏晓飞,张明平,李海霞,付志平(2865)臭氧污染对不同品种小麦干物质与生物量碳积累与分配的影响 宠太记,于传伟,朱建国,朱新开(2862)泉素分解共沉淀法中反应时间对 ZnAl 类水滑石结构和磷吸附性能的影响 陆英,建翔,邢波,孙中思,孙德智(2868)铅和铜离子在纳米羟基磷灰石上的竞争吸附动力学研究 胡田田,仓龙,王玉军,司友斌,周东美(2875)pH 和 Ni²+对人工纳米氧化硅吸附非的影响 胡田,仓龙,王玉军,司友斌,周东美(2887)时,对小工约米氧化硅吸附特性与机制研究 刘娟,陈迪云,张静,宋刚,罗定贵(2889)环丙沙星在潮土中的吸附特性 郑福前反应机制和特性研究 洪藩,陈德珍,王渡,黄榛(2901)H、5、选择性催化氧化工艺及催化剂研究现状 郝邦平,实广玉,张鑫,曲思秋(2909)《环境科学》征稿简则(2550) 《环境科学》征订启事(2568) 信息(2684、2714、2848、2916)

UV/H_2O_2 法对印染废水生化出水中不同种类有机物的去除效果

李新,刘勇弟*,孙贤波,徐宏勇,钱飞跃,李欣珏,李暮

(华东理工大学资源与环境工程学院,上海 200237)

摘要:采用 UV/ H_2O_2 高级氧化法对印染废水生化出水的处理进行研究,探讨了不同反应时间、 H_2O_2 投加量、反应初始 pH 值等因素对 UV $_{254}$ 、ADMI $_{7.6}$ 、DOC 和 COD 去除效果的影响. 结果表明,以 UV $_{254}$ 、ADMI $_{7.6}$ 、DOC 和 COD 的去除率为筛选依据,确定出最佳参数组合为:反应初始 pH 值为原水 pH 7.4~8.1, H_2O_2 投加量为4.5 mmol·L $^{-1}$,紫外光照射时间为50 min,在最佳处理条件下,UV $_{254}$ 、ADMI $_{7.6}$ 、DOC 和 COD 的去除率分别达到 77%、94%、40% 和69%. 通过 XAD-8/XAD-4 吸附树脂联用技术将印染废水生化出水中溶解性有机物分为疏水酸、非酸疏水物质、弱疏水物质及亲水物质 4 类有机物,研究了 UV/ H_2O_2 氧化工艺对生化出水中各种有机物及色度的去除效果. 实验结果表明,对于该印染废水的生化出水,疏水性物质是引起色度的主要物质,所占比例以 ADMI $_{7.6}$ 表征时为 92%,其中以非酸疏水物质的贡献最大,达到 53%. UV/ H_2O_2 高级氧化法处理此水样中的弱疏水性有机物、疏水酸和非酸疏水物质均有较好的处理效果,对亲水性有机物的处理效果较差. 实验表明,相对分子质量 > 10 000的大分子有机物对 DOC 和 ADMI $_{7.6}$ 的去除贡献较大,对 UV $_{254}$ 的去除贡献接近一半.

关键词:印染废水生化出水; UV/H,O,高级氧化法; 树脂分离; 相对分子质量分布

中图分类号: X703.1 文献标识码: A 文章编号: 0250-3301(2012)08-2728-07

Study on Removal Effect of Different Organic Fractions from Bio-treated Effluent of Dye Wastewater by UV/H,O, Process

LI Xin, LIU Yong-di, SUN Xian-bo, XU Hong-yong, QIAN Fei-yue, LI Xin-jue, LI Mu

(College of Resources and Environmental Engineering, East China University of Science and Technology, Shanghai 200237, China)

Abstract: The pretreatment of bio-treated effluent of dye wastewater by UV/H_2O_2 process was studied. The influencing factors, such as H_2O_2 dosage, reaction time and pH values were evaluated for the removal efficiency of UV_{254} , ADMI_{7.6}, DOC and DOC of dye wastewater by UV/H_2O_2 process. The experimental results showed that, the optimal conditions determined were as follows: initial pH 7. 4-8. 1, H_2O_2 dosage 4. 5 mmol·L⁻¹ and UV irradiation time of 50 min. Under the optimal conditions, UV_{254} , ADMI_{7.6}, DOC and COD removal rate could reach 77%, 94% \, 40% and 69%. Removal effects of four different DOM fractions, hydrophobic acids, non-acid hydrophobics, tasnsphilics and hydrophilics separated by XAD-8 and XAD-4 resins. The experimental results show that; hydrophobic material was the main substance causing color, when it was characterized by ADMI_{7.6}, the proportion could reach 92%, of which 53% was non-acid hydrophobics. It indicated that removal efficiencies of tasnsphilics, hydrophobic acids and non-acid hydrophobics were high through UV/H_2O_2 process, while hydrophilics' efficiencies were lower. The experimental results showed that organic molecules with molecular weight over 10 000 contributed greatly to UV_{254} , ADMI_{7.6} and DOC removal rate.

Key words: bio-treated effluent of dye wastewater; UV/H2O2 process; resin separation; molecular weight distribution

长期以来,印染废水一直是较难处理的工业废水^[1,2],且回用率很低,仅为7%,而回用于生产的则更少.传统处理方法难以使印染废水生化出水的色度达到回用于生产的要求,这成为印染废水处理的一大难题^[3]. 开展对印染废水生化出水的深度处理研究,将会为解决这一难题并为印染废水的回用奠定基础.

高级氧化技术被广泛应用于处理难降解的工业废水,过氧化氢作为一种强氧化剂,已经被应用于处理废水中无机和有机污染物.然而仅使用H₂O₂作为氧化剂,不能将难降解污染物有效地分解,因为此时氧化速度很低^[4].采用 UV/H₂O₂联用工艺,能产生

氧化性极强的·OH,从而能有效地分解一些单独使用H₂O₂不能分离的有机物.一般认为 UV/H₂O₂的反应机制是:1 分子的H₂O₂首先在紫外光的照射下产生 2 分子的·OH,然后·OH与有机物作用并使其分解^[5].而目前关于 UV/H₂O₂氧化法的研究针对的大多都是有机物总量或不同分子量有机物去除效果的研究^[6],对废水中具有不同物化性质的分类有机物

收稿日期: 2011-10-10; 修订日期: 2012-03-13

基金项目: 国家高技术研究发展计划(863)重点项目

(2009AA063904)

作者简介: 李新(1986~), 女, 硕士, 主要研究方向为水污染控制技术研究工作, E-mail; wangchuan1227@ yahoo. cn

* 通讯联系人, E-mail: ydliu@ ecust. edu. cn

的处理效果的研究很少[7,8].

本研究以印染废水生化出水中的溶解性有机物为对象,通过树脂分离技术将印染废水生化出水中的有机物进行分离分类,分成疏水酸、非酸疏水物质、弱疏水物质及亲水物质4类有机物,采用超滤法测定水样的相对分子质量分布,分析了UV/H₂O₂氧化法对印染废水生化出水中4类有机物的去除效果及水样中不同相对分子质量大小有机物的去除

特性.

1 材料与方法

1.1 水样来源

实验水样取自昆山市某工业园区印染废水生化 出水,以下将用 0.45 μm 滤膜过滤后的印染废水生 化出水简称为原水,实验期间其水质参数如表 1 所示.

表1 原水水质

Table 1 Raw water quality

pН	COD/mg·L ⁻¹	DOC/mg·L ⁻¹	$\mathrm{UV}_{254}/\mathrm{cm}^{-1}$	ADMI _{7.6}	稀释倍数
7. 4 ~ 8. 1	43 ~ 50	20. 80 ~ 22. 28	0. 777 6 ~ 0. 847	290 ~ 298	45 ~ 49

1.2 分析指标和方法

- (1) UV_{254} 水样经 0.45 μ m 滤膜过滤后调节 pH 为 2.0 ± 0.1, 用 1 cm 光程石英比色皿测 254 nm 波长下的紫外吸光度(尤尼柯(上海)仪器有限公司 UV2802 型紫外-可见光分光光度计).
- (2) DOC 水样经 0.45 μm 滤膜过滤后测定 DOC 值(德国元素分析系统公司 liqui TOC 测定仪).
- (3)pH 水样经 0.45 μm 滤膜过滤后测定 pH 值(赛多利斯 PB-10 酸度计).
- (4)色度 参照文献[9]中稀释倍数法的步骤进行测定.由于稀释倍数法有很大的人为误差,所以本实验中选用可以较精确测量色度的 ADMI_{7.6}来表征水样的色度. ADMI_{7.6}:调节 pH 为 7.6 ± 0.1 用 5 cm 光程玻璃比色皿测定(哈希公司 DR/4000U 型可见光分光光度计).
- (5)有机物分离方法 参照文献[10,11]的方法,采用 XAD-8(罗门哈斯公司)和 XAD-4(上海华 震科技有限公司)吸附树脂联用技术将水中溶解性 有机物分为疏水酸、非酸疏水物质、弱疏水物质及 亲水物质 4 类有机物.
- (6)COD HACH 密封消解法^[12]测定水样精处理后的化学需氧量(DRB200型 HACH 数字消解器,美国 HACH 公司).
- $(7)H_2O_2$ 以钛盐光度法 $[^{13}^{-16}]$ 测定 UV/ H_2O_2 高级氧化过程中的 H_2O_2 含量,从而对 COD 的测定进行校正.
- (8)紫外灯 飞利浦紫外灯,14 W(上海壹图电子科技有限公司).

1.3 实验方法

实验采用自制的圆筒式反应器,容积为 1.5 L,

紫外灯管(14 W)位于反应器中央,外层套有石英管,可以保证良好的透光率,反应器外壁为有机玻璃,置于磁力搅拌器上,120 r·min⁻¹,外周加挡板并内覆铝箔反光,既可以防止其它光线进入,又可以防止紫外线外泄,装置如图 1 所示.

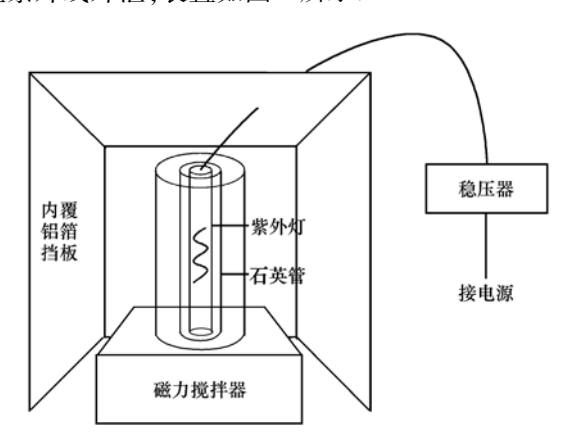


图1 反应装置示意

Fig. 1 Schematic diagram of reaction setup

将原水置于反应器中,投加一定量的浓度为 $1 \text{ mol} \cdot L^{-1}$ 的 H_2O_2 溶液,开启磁力搅拌器,充分混匀后,开启紫外灯,反应开始计时,按一定的时间间隔取样,测定 $DOC_{\infty}UV_{254}$ 和色度.

2 结果与讨论

2.1 不同反应体系处理效果的比较

图 2 给出了单独投加 $c(H_2O_2)$ 4. 5 mmol·L⁻¹、单独紫外光照、投加 $c(H_2O_2)$ 4. 5 mmol·L⁻¹ + 紫外光照 3 种情况下, 印染废水生化出水 ADMI_{7.6}、COD、UV₂₅₄、DOC 的去除率.

图 2(a) 表明,单独投加H₂O₂对印染废水生化出水的色度去除效果很差,随着反应时间的延长,效果

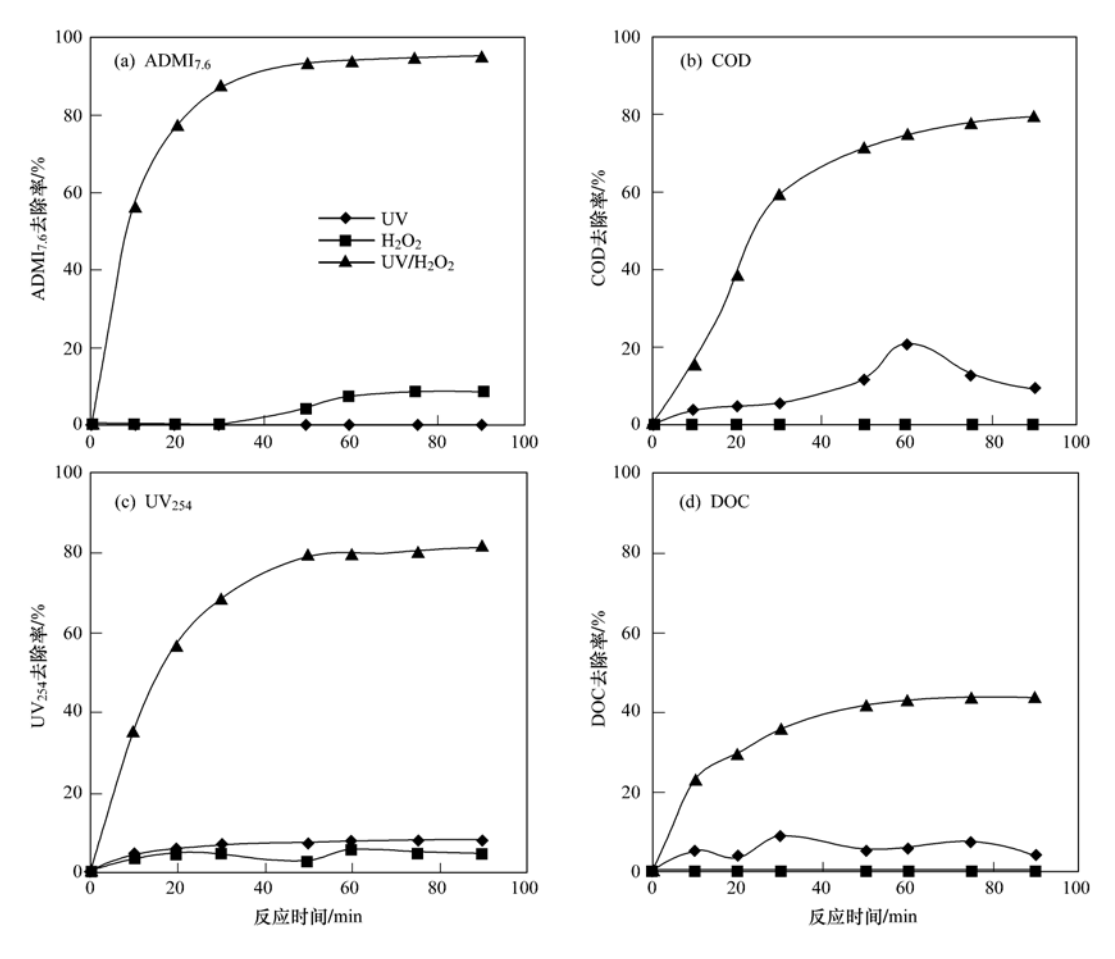


图 2 不同反应体系对印染废水生化出水 ADMI7.6、COD、UV254和 DOC 的去除率

Fig. 2 Comparison of removal efficiency of $ADMI_{7.6}$, COD, UV_{254} and DOC in different systems

略有增加,90 min 时,去除率仅为9%;单独紫外光照对印染废水生化出水的色度几乎没有去除效果;而采用 UV/H_2O_2 反应系统时,色度的去除效果显著提高,并随着反应时间的延长持续增加,最高可达到96%.

图 2(b) 表明,单独投加H₂O₂对印染废水生化 出水的 COD 几乎没有去除效果;单独紫外光照时 COD 的去除率也很小,最高值仅有 21%;而采用 UV/H₂O₂反应体系时,COD 的去除率显著提高,并 随着反应时间的延长持续增加,90 min 可达 81%. 在单独紫外光照时,60 min 以后 COD 的去除率反而 降低,可能是由于印染废水中某些难被氧化的物质 被紫外光解成为能够被氧化的物质,从而增加了水 样的 COD 值.

从图 2(c)和图 2(d)分别可以看出,单独投加 H_2O_2 和单独紫外光照对印染废水生化出水的 UV_{254} 、DOC 的去除效果均不理想,而 UV/H_2O_2 反应体系对印染废水生化出水的 UV_{254} 和 DOC 均有较好的去除效果,去除率随着反应时间的延长持续增加.

上述实验结果表明,H₂O₂在紫外光照射下产生的·OH可以显著增加印染废水生化出水中有机物的去除率及色度的去除,因此 UV/H₂O₂体系是印染废水生化出水中有机污染物降解的有效方法.

2.2 H,O,投加量对 UV/H,O,氧化处理效果的影响

向印染废水生化出水中分别投加不同剂量的浓度为1 $mol \cdot L^{-1}$ 的 H_2O_2 溶液,紫外光照射不同时间时, $ADMI_{7.6}$ 、 UV_{254} 和 DOC 的去除效果分别如图 3 所示.

从图 3 可以看出,当紫外光照射时间相同时,随着 H_2O_2 投加量的增加,印染废水生化出水 $ADMI_{7.6}$ 、 UV_{254} 和 DOC 的去除率逐渐增加;同时可以看出,当 H_2O_2 投加量相同时, $ADMI_{7.6}$ 、 UV_{254} 和 DOC 的去除率随紫外光照射时间的增加逐渐增加,当紫外光照射时间达到 50 min 时, $ADMI_{7.6}$ 、 UV_{254} 和 DOC 的去除率趋于稳定.

图 3(a) 表明, H_2O_2 投加量达到 $3 \text{ mmol} \cdot L^{-1}$ 之前, $ADMI_{7.6}$ 去除率随 H_2O_2 投加量的增加快速增加, 当 H_2O_2 投加量超过 $3 \text{ mmol} \cdot L^{-1}$ 后, $ADMI_{7.6}$ 去除率

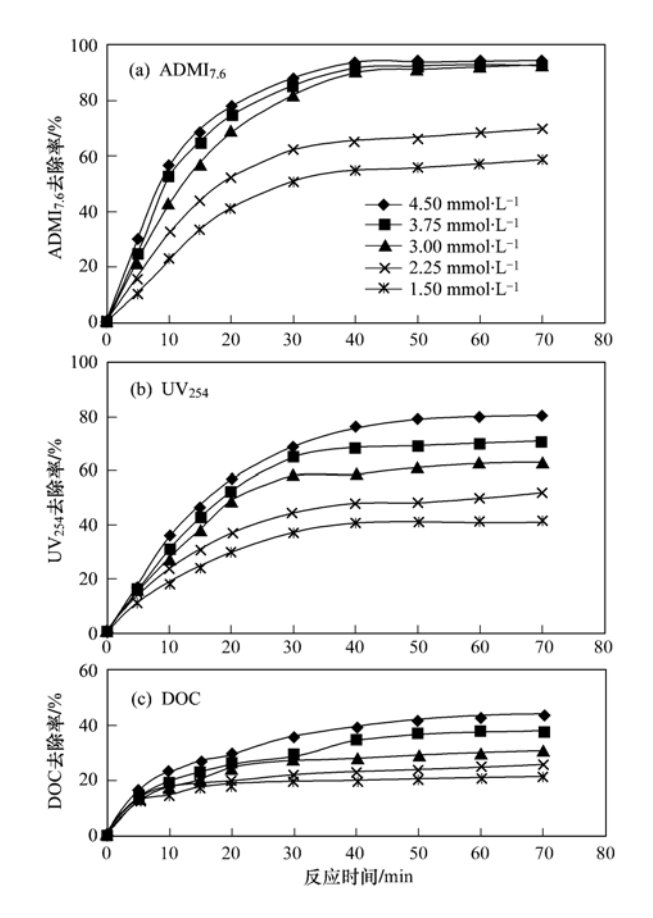


图 3 H₂O₂投加量对印染废水生化出水 ADMI_{7.6}、 UV₃₅₄和 DOC 去除效果的影响

Fig. 3 Effect of the $\rm H_2\,O_2$ dosage on $\rm ADMI_{7.6}$, $\rm UV_{254} \ and \ DOC \ removal \ efficiency$

的增加趋势明显减慢,这是因为 H_2O_2 浓度过高时,过量的 H_2O_2 会消耗·OH^[17,18].溶液中过量的 H_2O_2 也会与·OH反应生成过氧化羟基自由基,而过氧化羟基自由基的氧化性能相对于·OH较弱^[19],因此过高的 H_2O_2 投加量并未使 ADMI_{7.6}去除率呈线性增加,确定最佳 H_2O_2 投加量会大大降低实际处理成本,提高其利用效率,结合处理目标,选择 H_2O_2 投加量为 3 ~4.5 mmol·L⁻¹.

2.3 反应的初始 pH 对 UV/ H_2O_2 氧化处理效果的影响

取 5 份等量的印染废水生化出水,调节初始 pH 分别为 3、5、7、9、11,当 H_2O_2 的投加量均为 3 mmol· L^{-1} 时,紫外光照射 30 min 后,ADMI_{7.6}、UV₂₅₄和 DOC 的去除率如图 4 所示.

通常,中性或弱酸性的条件下有利于有机物的降解,因为碱性条件下会消耗 H_2O_2 ,强酸性条件下,自由基·OH因被 H^+ 捕获而造成无效损耗. 图 4 表明,反应的初始 pH 对该印染废水生化出水的处理

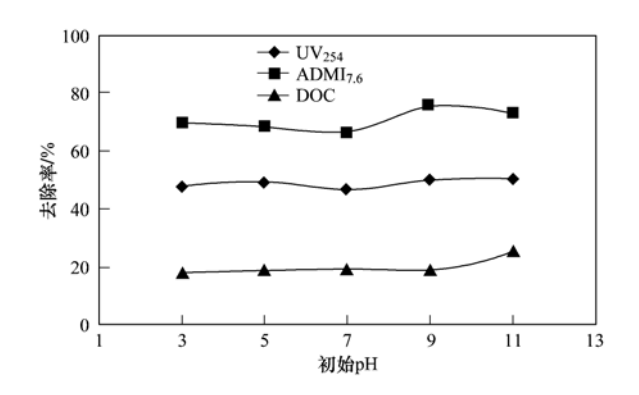


图 4 反应初始 pH 对印染废水生化出水去除效果的影响 Fig. 4 Effect of the initial pH on UV₂₅₄, ADMI_{7.6}

and DOC removal efficiency

效果并无明显影响,综合考虑实际工程中的操作难度及运行成本,采用 UV/H_2O_2 氧化处理该印染废水生化出水时,无需调节反应初始 pH.

2.4 UV/H_2O_2 氧化处理对不同种类有机物的去除效果

根据处理目标,结合以上实验结果,选择达到处理目标(ADMI_{7.6} < 70、COD < 50 mg·L⁻¹)的2组 UV/H₂O₂氧化处理条件,分别为条件1:H₂O₂的投加量为3 mmol·L⁻¹,紫外光照射时间为30 min;条件2:H₂O₂的投加量为4.5 mmol·L⁻¹,紫外光照射时间为20 min. 对这2种条件下处理后的水样及生化出水进行树脂分离,结果见图5.

图 5(a)表明,以 UV_{254} 为指标时,疏水酸、非酸疏水物质、弱疏水有机物和亲水性有机物 4 类有机物,在条件 1 的 UV/H_2O_2 氧化处理后的去除率分别达到了 63%、40%、89% 及 9%;在条件 2 的 UV/H_2O_2 氧化处理后的去除率分别达到了 48%、42%、84% 及 9%. 这说明 UV/H_2O_2 氧化处理的去除效果以 UV_{254} 为表征时对 4 类有机物的处理效果顺序由大到小依次为:弱疏水性有机物,疏水酸,非酸疏水物质,亲水性有机物.

图 5(b)表明,以 $ADMI_{7.6}$ 为指标时,疏水酸、非酸疏水物质、弱疏水有机物和亲水性有机物,在条件 1 的 UV/H_2O_2 氧化处理后的去除率分别达到了 80%、69%、80%及 11%;在条件 2 的 UV/H_2O_2 氧化处理后的去除率分别达到了 69%、55%、90%及 8%.这说明 UV/H_2O_2 氧化处理的去除效果以 $ADMI_{7.6}$ 为表征时对 4 类有机物的处理效果顺序由大到小依次为:弱疏水性有机物、疏水酸、非酸疏水物质、亲水性有机物.

图 5(c) 表明,以 DOC 为指标时,疏水酸、非酸疏

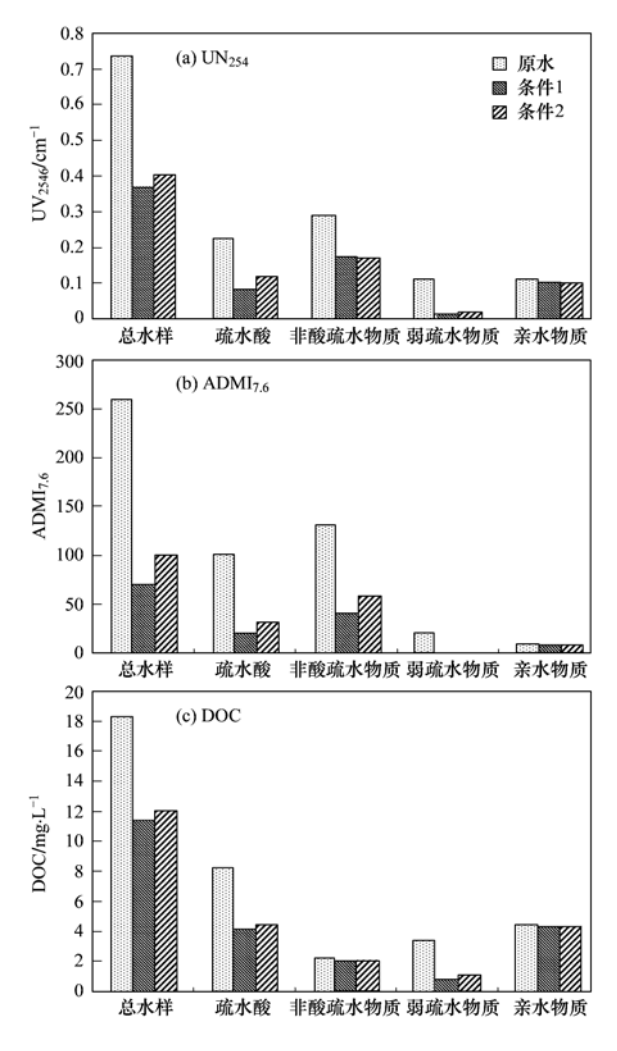


图 5 不同种类有机物在 UV/H_2O_2 氧化处理中 UV_{254} 、 $ADMI_{7.6} \text{ ADOC } \text{ 的去除效果}$

Fig. 5 UV_{254} , ADMI_{7.6} and DOC removal efficiency in the secondary effluent through UV/H_2O_2 process

水物质、弱疏水有机物和亲水性有机物,在条件 1 的 UV/H_2O_2 氧化处理后的去除率分别达到了 49%、8%、75%及 3%;在条件 2 的 UV/H_2O_2 氧化处理后的去除率分别达到了 46%、6%、68%及 2%. 这说明 UV/H_2O_2 氧化处理的去除效果以 DOC 为表征时对 4 类有机物的处理效果顺序由大到小依次为:弱疏水性有机物、疏水酸、非酸疏水物质和亲水性有机物.

2.5 相对分子质量分布

对条件 1 和条件 2 的 UV/H_2O_2 氧化处理后的水样及原水进行相对分子质量分布的测定,结果见图 6.

图 6(a) 表明,相对分子质量在 $(4 \sim 10) \times 10^3$ 范围内的有机物对 UV_{254} 的贡献为 12%,其余各区间范围内的有机物对 UV_{254} 的贡献均在 22% 左右, UV/H_2O_2 氧化处理后,各区间范围内的有机物对

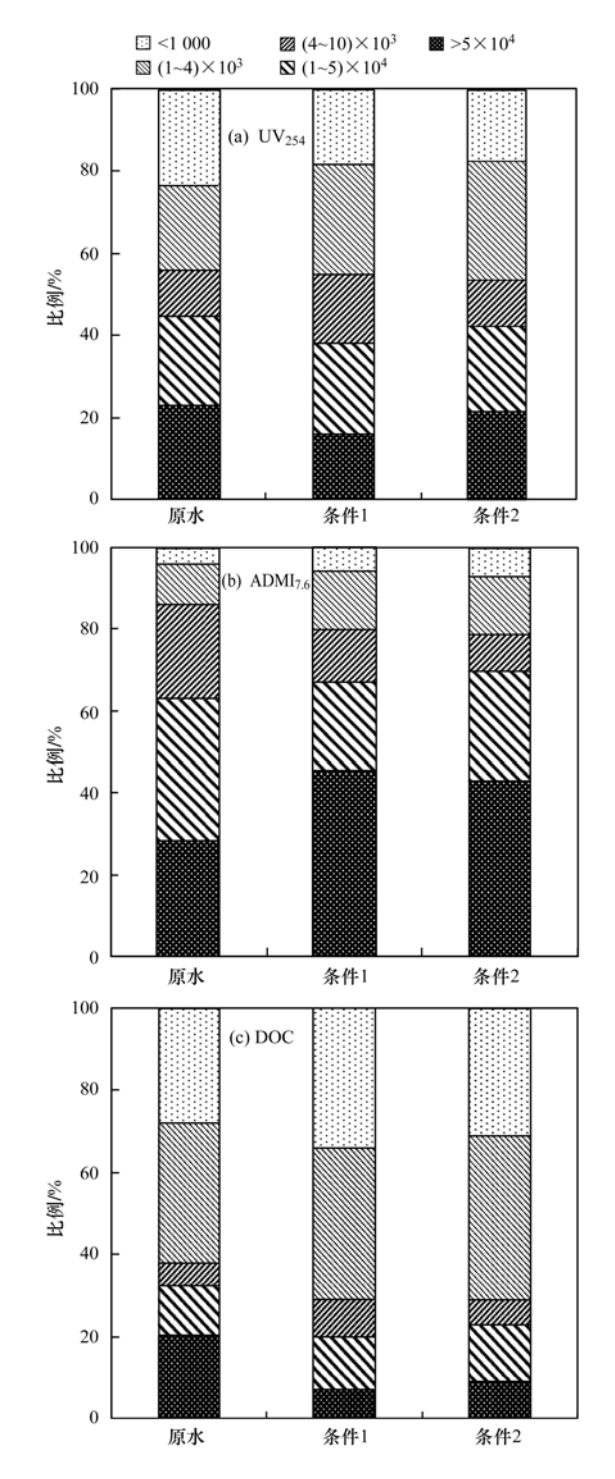


图 6 UV/H_2O_2 氧化处理中 UV_{254} 、ADMI_{7.6} 和 DOC 的相对分子质量分布

Fig. 6 Molecular weight distribution of $UV_{254}\,,~ADMI_{7.\,6}$ and DOC through $UV/H_2\,O_2$ process

UV₂₅₄的贡献变化不大.

图 6(b) 表明,相对分子质量 >4 000的有机物对 $ADMI_{7.6}$ 的贡献最为显著,占到了 86%,其中 63%为相对分子质量 >10 000的有机物, UV/H_2O_2 氧化处理后,相对分子质量 >10 000的有机物对 $ADMI_{7.6}$

的贡献略有增大,其中相对分子质量 >50 000 的有机物对 ADMI,6的贡献明显增大.

图 6(c) 表明, DOC 值主要受相对分子质量 <4000的有机物影响,这部分有机物对 DOC 的贡献达到 62%,而相对分子质量 >50000的有机物对 DOC 的贡献也达到 21%, UV/H_2O_2 氧化处理后,相对分子质量 >50000的有机物对 DOC 的贡献明显减小,相对分子质量 <4000的有机物对 DOC 的贡献进一步增大.

图 7 表明,条件 1 的 UV/H_2O_2 氧化处理对于相对分子质量 > 10 000的大分子有机物 DOC、 UV_{254} 和 $ADMI_{7.6}$ 的去除量与其总去除量的比值分别达到了 0. 59、0. 50 及 0. 61;条件 2 的 UV/H_2O_2 氧化处理对于相对分子质量 > 10 000的大分子有机物 DOC、 UV_{254} 和 $ADMI_{7.6}$ 的去除量与其总去除量的比值分别达到了 0. 76、0. 48 及 0. 59. 这说明相对分子质量

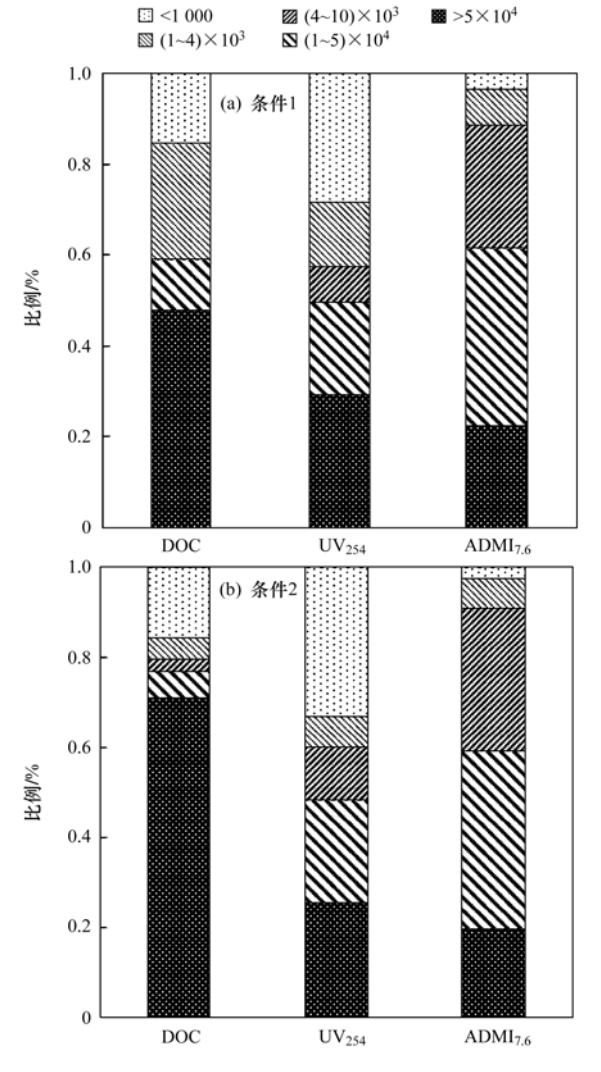


图 7 各分子量区间在条件 1 和条件 2 下对去除效果的贡献率 Fig. 7 Molecular weight distribution removal efficiency under condition 1 and condition 2

>10 000的大分子有机物对 DOC 和 $ADMI_{7.6}$ 的去除 贡献较大,对 UV_{54} 的去除贡献接近一半.

3 结论

- (1)实验表明,以 UV_{254} 、DOC、 $ADMI_{7.6}$ 和 COD的去除率为筛选依据,确定出最佳参数组合为:反应初始 pH 值为原水 pH, H_2O_2 投加量为 4.5 mmol· L^{-1} ,紫外光照射时间为 50 min,在最佳处理条件下, UV_{254} 、 $ADMI_{7.6}$ 、DOC 和 COD 的去除率分别达到 77%、94%、40% 和 69%. 选择达到处理目标的 2 组 UV/H_2O_2 氧化处理条件,分别为条件 1: H_2O_2 的投加量为 3 mmol· L^{-1} ,紫外光照射时间为 30 min;条件 2: H_2O_2 的投加量为 4.5 mmol· L^{-1} ,紫外光照射时间为 20 min. 在条件 1 下, UV_{254} 、 $ADMI_{7.6}$ 、DOC 和 COD 的去除率分别达到 59%、82%、28%和 51%;在条件 2 下, UV_{254} 、 $ADMI_{7.6}$ 、DOC 和 COD的去除率分别达到 52%、69%、27%和 46%.
- (2)对于该印染废水的生化出水,疏水性物质是引起色度的主要物质,所占比例以 ADMI_{7.6} 表征时为 92%,其中以非酸疏水物质的贡献最大,达到 53%. UV/H₂O₂高级氧化法处理对此水样中的弱疏水性有机物、疏水酸和非酸疏水物质均有较好的处理效果,对亲水性有机物的处理效果较差.
- (3) UV/ H_2O_2 氧化处理后,各区间范围内的有机物对 UV₂₅₄的贡献变化不大,相对分子质量 > 5 × 10^4 的有机物对 ADMI_{7.6}的贡献明显增大,而对 DOC 的贡献明显减小. 实验亦表明,相对分子质量 > 1 × 10^4 的大分子有机物对 DOC 和 ADMI_{7.6}的去除贡献较大,对 UV₂₅₄的去除贡献接近一半.
- (4)实验证明采用 UV/H_2O_2 高级氧化法处理印染废水,是一种经济有效的印染废水处理技术,值得研究推广.

参考文献:

- [1] 戴日成, 张统, 郭茜, 等. 印染废水水质特征及处理技术综 述[J]. 给水排水, 2000, **26**(10): 33-37.
- [2] 汪晓军, 顾晓扬. 纺织印染废水治理的现状及未来发展的思考[J]. 中国科技成果, 2008, **12**(10): 18-20.
- [3] 毛艳梅, 奚旦立, 杨晓波. 印染废水深度处理技术及回用的 现状和发展[J]. 江苏纺织, 2005, (3): 23-26.
- [4] 韩志红,李树斌,郭艳,等. UV/H_2O_2 技术在环境保护中的研究进展[J]. 油气田环境保护,2004,14(1):36-38.
- [5] Staehelin J, Hoigne J. Decomposition of ozone in water; rate of initiation by hydroxide ions and hydrogen peroxide [J]. Environment Science and Technology, 1982, 16(10): 676-681.
- [6] Matilainen A, Vieno N, Tuhkanen T. Efficiency of the activated

- carbon filtration in the natural organic matter removal [J]. Environment International, 2006, 32(3); 324-331.
- [7] Vigneswaran S, Shon H K, Kandasamy J, et al. Performance of granular activated carbon (GAC) adsorption and biofiltration in the treatment of biologically treated sewage effluent [J]. Separation Science and Technology, 2007, 42 (14): 3101-3116.
- [8] 龚剑丽, 刘勇弟, 孙贤波, 等. 城市污水二级生化出水中有机污染物特性表征[J]. 环境化学, 2007, **26**(5): 706-707.
- [9] GB 11903-89, 水质色度的测定[S].

2734

- [10] 龚剑丽, 孙贤波, 刘勇弟, 等. 焦化废水二级生化出水中有机污染物的氧化特性[J]. 环境化学, 2008, **27**(2): 193-196.
- [11] Gong J L, Liu Y D, Sun X B. O_3 and UV/O_3 oxidation of organic constituents of biotreated municipal wastewater [J]. Water Research, 2008, 42(4-5): 1238-1244.
- [12] 付丽君, 李冰璟, 蒋文新, 等. 低耗环保 COD 测定方法的研究[J]. 环境污染与防治, 2008, **30**(3): 57-61.
- [13] Brillas E, Casado J. Aniline degradation by electro-Fenton® and peroxi-coagulation processes using a flow reactor for wastewater treatment[J]. Chemosphere, 2002, 47(3): 241-248.

[14] Gallard H, De Laat J. Kinetic modelling of Fe(\mathbb{I})/H₂O₂ oxidation reactions in dilute aqueous solution using atrazine as a model organic compound[J]. Water Research, 2000, **34**(12): 3107-3116.

学

- [15] De Laat J, Gallard H. Catalytic decomposition of hydrogen peroxide by Fe (III) in homogeneous aqueous solution: mechanism and kinetic modeling[J]. Environmental Science and Technology, 1999, 33(16): 2726-2732.
- [16] 姜成春, 庞素艳, 马军, 等. 钛盐光度法测定 Fenton 氧化中的过氧化氢[J]. 中国给水排水, 2006, **22**(4): 88-91.
- [17] Alfano O M, Brandi R J, Cassano A E. Degradation kinetics of 2,4-D in water employing hydrogen peroxide and UV radiation [J]. Chemical Engineering Journal, 2001, 82(1-3): 209-218.
- [18] Neamtu M, Siminiceanu I, Kettrup A. Kinetics of nitromusk compounds degradation in water by ultraviolet radiation and hydrogen peroxide [J]. Chemosphere, 2000, 40 (12): 1407-1410.
- [19] Perez M, Torrades F, Garca-Hortal J A, et al. Removal of organic contaminants in paper pulp treatment effluents under Fenton and photo-Fenton conditions [J]. Applied Catalysis B: Environmental, 2002, 36(1): 63-74.

HUANJING KEXUE

Environmental Science (monthly)

Vol. 33 No. 8 Aug. 15, 2012

CONTENTS

CONTENID	
Levels and Sources of Gaseous Polybrominated Diphenyl Ethers in Air over the Northern South China Sea	LI Qi-lu, LI Jun, LIU Xiang, et al. (2533)
Observation and Analysis of Air Pollution in Zhangjiakou , Hebei	
Smog Chamber Simulation of Ozone Formation from Atmospheric Photooxidation of Propane	
Mechanism and Performance of a Membrane Bioreactor for Treatment of Toluene Vapors	YE Qi-hong, WEI Zai-shan, XIAO Pan, et al. (2558)
Analysis of Odor Pollutants in Kitchen Waste Composting	
Spatial Changes and Sources of Nitrate in Beijing Urban Ecosystem Surface Water	
Distribution Characteristics and Potential Risk of PCBs in Surface Water from Three Tributaries of Yangtze River in Different Periods	
Distribution Characteristics and Potential Risks of Phenols in the Rainy Season Surface Water from Three Gorges Reservoir V	
Spatial Distribution of Perfluorooctanoic Acids and Perfluorinate Sulphonates in Surface Water of East Lake	
Characteristics of Heavy Metal Pollution in Daninghe River and Modaoxi River of Three Gorges Reservoir Areas	
Pollution Characteristics and Ecological Risk Assessment of Heavy Metals in the Surface Sediments of the Yangtze River	
Analysis of the Source, Potential Biological Toxicity of Heavy Metals in the Surface Sediments from Shellfish Culture Mudflats of Ru	dong Country, Jiangsu Province
Effect of Disturbance Intensity on Phosphorus Release and Its Transformation in the Sediment from Taihu Lake	LI Da-peng, HUANG Yong (2614)
Effects of Intrusions from Three Gorges Reservoir on Nutrient Supply to Xiangxi Bay	
Influence of Perennial Flooding and Drought on Growth Restoration of Acorus calamus in Water-level-fluctuation Zone of the Three G	orges Reservoir · · · · · · · · · · · · · · · · · · ·
Pollution Load and the First Flush Effect of Phosphorus in Urban Runoff of Wenzhou City	
Output Characteristics of Rainfall Runoff Phosphorus Pollution from a Typical Small Watershed in Yimeng Mountainous Area	
Influence of Land Use Structure on Nitrogen Output in the Watershed of Suburban Agriculture Regions	
Simulation of Nitrogen and Phosphorus Loss in Siling Reservoir Watershed with AnnAGNPS	
GIS and L-THIA Based Analysis on Variations of Non-point Pollution in the Guanlan River Watershed, Shenzhen	BAI Feng-jiao, LI Tian-hong (2667)
Response of Sloping Water Erosion to Rainfall and Micro-earth Pattern in the Loess Hilly Area	
Comparison Study of Enhanced Coagulation on Humic Acid and Fulvic Acid Removal	······ ZHOU Ling-ling, ZHANG Yong-ji, YE He-xiu, et al. (2680)
Real-time PCR Detection and Quantification of Emerging Waterborne Pathogens (EWPs) and Antibiotic Resistance Genes (ARGs)	in the Downstream Area of Jiulong River · · · · · · · · · · · · · · · · · · ·
Total time 1 of 2 occording to the second of 2 occording to the second occordi	····· WANG Qing, LIN Hui-rong, ZHANG Shu-ting, et al. (2685)
Quantitative and Qualitative Analysis of Total Bacteria and Ammonia-oxidizing Bacteria in Buji River in Wet Season	SUN Hai-mei, BAI Jiao-jiao, SUN Wei-ling, et al. (2691)
Study on the Nitrogen Removal Performance and the Characteristics of Denitrification Bacterial Community Structure of Biological Ae	
Analysis of Microbial Community Structure at Full-scale Wastewater Treatment Plants by Oxidation Ditch	GUO Yun, YANG Dian-hai, LU Wen-jian (2709)
Performance and Microbial Community Dynamic Characteristics of an Internal Circulation Reactor Treating Brewery Wastewater	
Coupling AFM Fluid Imaging with Micro-Flocculation Filtration Process for the Technological Optimization	·········· ZHENG Bei, GE Xiao-peng, YU Zhi-yong, et al. (2723)
Study on Removal Effect of Different Organic Fractions from Bio-treated Effluent of Dye Wastewater by UV/H ₂ O ₂ Process ·······	LI Xin, LIU Yong-di, SUN Xian-bo, et al. (2728)
Optimization of Chlorella pyrenoidosa-15 Photoheterotrophic Culture and Its Use in Wastewater Treatment	
Characteristics and Mechanism of 2,4,6-TCP Degradation by the "Fe ⁰ /Enriched-Bacteria" System	DAI You-zhi, GUO Li-li, SHI Lei, et al. (2741)
Immobilization of Crude Laccase onto Anion Exchange Resin and Its Application in Decoloration of Malachite Green	
Low-Temperature Preparation of TiO ₂ /PS/Fe ₃ O ₄ and Its Photocatalytic Activity and Magnetic Recovery	·· WANG Xue-jiao, REN Xue-chang, NIAN Juan-ni, et al. (2752)
Study on Catalytic Oxidation of Benzene by Microwave Heating	····· ZHANG Yu-cai, BO Long-li, WANG Xiao-hui, et al. (2759)
Synergistic Effects of Nano-sized Magnetic Particles and Uncoupler to the Characteristics of Activated Sludge	······ GAO Li-ying, TANG Bing, LIANG Ling-yan, et al. (2766)
Experimental and Modeling Research on the Settlement of Aerobic Granular Sludge	SU Kui-zu, DENG Xiu-kun, ZHENG Li, et al. (2773)
Analysis of Hydrolytic Enzyme Activities on Sludge Aerobic/Anoxic Digestion After Ultrasonic Pretreatment	YE Yun-di, SUN Shui-yu, ZHENG Li, et al. (2780)
Effect of Microbial Nutrient Concentration on Improvement of Municipal Sewage Sludge Dewaterability Through Bioleaching	SONG Yong-wei, LIU Fen-wu, ZHOU Li-xiang (2786)
Response of the Artificial Cyanobacterial Crusts to Low Temperature and Light Stress and the Micro-structure Changes Under Laborat	tory Conditions
	RAO Ben-qiang, LI Hua, XIONG Ying, et al. (2793)
Seasonal Dynamics of Soil Active Carbon Pool in a Purple Paddy Soil in Southwest China	WU Yan, JIANG Chang-sheng, HAO Qing-ju (2804)
Pollution Characteristics and Accumulation of Antibiotics in Typical Protected Vegetable Soils	······· YIN Chun-yan, LUO Yong-ming, TENG Ying, et al. (2810)
Transformation and Influences of Copper and Selenium Fractions on Heavy Metals Bioavailability in Co-contaminated Soil	
Response of Soil Microbial Community to the Bioremediation of Soil Contaminated with PAHs	
Bioremediation of PAHs Contaminated Soil from Beijing Coking Plant by Lasiodiplodia theobromae	
Leaching Experiments on the Release of Trace Elements from Tailings of Chashan Antimony Mine, Guangxi, China	
Accumulation Characteristics of Arsenic in Suburban Soils of Beijing	
Antioxidant Enzyme Gene Expression as Molecular Biomarkers of Exposure to Polycyclic Musks	
Effects of Ozone Pollution on the Accumulation and Distribution of Dry Matter and Biomass Carbon of Different Varieties of Wheat	
Influence of Reaction Time of Urea Hydrolysis-Based Co-precipitation on the Structure of ZnAl Layered Double Hydroxides and the I	
	LU Ying, CHENG Xiang, XING Bo, et al. (2868)
Competitive Adsorption Kinetics of Aqueous Pb ²⁺ and Cu ²⁺ on Nano-HAP Surfaces	
Effects of pH and Ni ² + on Sorption Behavior of Phenanthrene on Engineered Nano-Silica	
Adsorption Characteristics and Mechanism of Uranium on Attapulgite	LIU Juan, CHEN Di-vun ZHANG ling et al. (2889)
Adsorption Characteristics of Ciprofloxacin in Ustic Cambosols	
Kinetic Mechanism and Characteristics Researches for Hydrazine-based NO _x Removal at Moderate to High Temperatures	
Current Research Situation of H ₂ S Selective Catalytic Oxidation Technologies and Catalysts	
Sarrow recognition of 1120 concerns contained continuence and calculates	2210 Zinong ping, 200 Outing-yu, Zinino Ain, ti ut. (2007)

《环境科学》第6届编辑委员会

主 编:欧阳自远

副主编:赵景柱 郝吉明 田 刚

编 委:(按姓氏笔画排序)

万国江 王华聪 王凯军 王绪绪 田 刚 田 静 史培军

朱永官 刘志培 汤鸿霄 陈吉宁 孟 伟 周宗灿 林金明

欧阳自远 赵景柱 姜 林 郝郑平 郝吉明 聂永丰 黄 霞

黄耀 鲍强潘纲潘涛魏复盛

环枪种草

(HUANJING KEXUE)

(月刊 1976年8月创刊) 2012年8月15日 33卷 第8期

ENVIRONMENTAL SCIENCE

 $\begin{array}{ccc} (\mbox{ Monthly} & \mbox{Started in 1976}) \\ \mbox{Vol. 33} & \mbox{No. 8} & \mbox{Aug. 15}\,,\,2012 \end{array}$

 主	管	山田利	Superintended	by	Chinese Academy of Sciences
		中国科学院	-	-	•
主	办	中国科学院生态环境研究中心	Sponsored	by	Research Center for Eco-Environmental Sciences, Chinese
协	办	(以参加先后为序)			Academy of Sciences
		北京市环境保护科学研究院	Co-Sponsored	by	Beijing Municipal Research Institute of Environmental
		清华大学环境学院			Protection
主	编	欧阳自远			School of Environment, Tsinghua University
编	辑	《环境科学》编辑委员会	Editor-in -Chief	•	OUYANG Zi-yuan
<i>9</i> m	邗	,,	Edited	by	The Editorial Board of Environmental Science (HUANJING
		北京市 2871 信箱(海淀区双清路			KEXUE)
		18号,邮政编码:100085)			P. O. Box 2871, Beijing 100085, China
		电话:010-62941102,010-62849343			Tel:010-62941102,010-62849343; Fax:010-62849343
		传真:010-62849343			E-mail; hjkx@ rcees. ac. cn
		E-mail; hjkx@ rcees. ac. cn			http://www.hjkx.ac.cn
		http://www.hjkx.ac.cn	Published	bv	Science Press
出	版	辞华出版 社	rublisheu	Бу	
		北京东黄城根北街 16 号			16 Donghuangchenggen North Street,
		邮政编码:100717			Beijing 100717, China
印刷装	ŧ 订	北京北林印刷厂	Printed	by	Beijing Bei Lin Printing House
发	行	斜学出版社	Distributed	by	Science Press
		电话:010-64017032			Tel:010-64017032
		E-mail:journal@mail.sciencep.com			E-mail:journal@mail.sciencep.com
订 购	处	全国各地邮电局	Domestic		All Local Post Offices in China
国外总统	发行	中国国际图书贸易总公司	Foreign		China International Book Trading Corporation (Guoji
		(北京 399 信箱)	-		Shudian), P. O. Box 399, Beijing 100044, China
		*			

中国标准刊号: ISSN 0250-3301 CN 11-1895/X

国内邮发代号: 2-821

国内定价:70.00元

国外发行代号: M 205

国内外公开发行